

УДК 537.311.33; 548.7; 621.385.833

© 1990

**ВЗАЙМОДЕЙСТВИЕ ТОЧЕЧНЫХ ДЕФЕКТОВ  
С АТОМАМИ БОРА И ФОСФОРА  
В КРИСТАЛЛАХ Si ПРИ БОЛЬШОЙ СКОРОСТИ  
ГЕНЕРАЦИИ ПАР ФРЕНКЕЛЯ**

Л. И. Федина, А. Л. Асеев

На основе экспериментов по облучению в высоковольтном электронном микроскопе исследован процесс формирования скоплений междуузельных атомов в кристаллах Si с большой концентрацией атомов B и P. Показана сильная зависимость данного процесса от типа примеси и условий для стока точечных дефектов на поверхность. На этом основании обсуждаются механизмы взаимодействия точечных дефектов с атомами примесей.

Образование комплексов точечных дефектов (ТД) с атомами примесей и аннигиляция вакансий ( $v$ ) и междуузельных атомов ( $i$ ) на центрах являются основными процессами при малой скорости генерации ТД [1]. При большой скорости генерации ТД, которая реализуется при облучении электронами в высоковольтном электронном микроскопе (ВЭМ), в объеме слабо легированных кристаллов Si и Ge с концентрацией примеси  $N \leq 10^{15} \text{ см}^{-3}$  преобладают процессы взаимной аннигиляции  $v$  и  $i$ , а в приповерхностных слоях облучаемых кристаллов за счет преимущественного стока  $v$  на поверхность формируются скопления  $i$  в виде {113}-дефектов [2-4]. По данным [5], при облучении в ВЭМ кристаллов Si, легированных атомами B с  $N_B \geq 10^{19} \text{ см}^{-3}$ , {113}-дефекты не образуются, в то время как в сильно легированных кристаллах Ge формируется большое количество мелких скоплений ТД [6].

Целью настоящей работы явилось определение преобладающих механизмов взаимодействия ТД с атомами примесей и со стоками, ведущих к формированию скоплений  $i$  при облучении в ВЭМ кристаллов Si с повышенной концентрацией атомов B и P.

### 1. Экспериментальная часть

Использовались кристаллы Si, выращенные методом Чохральского, с концентрацией кислорода  $N_O \simeq 10^{18} \text{ см}^{-3}$ . Содержание легирующих примесей изменялось от  $5.0 \cdot 10^{14}$  до  $2.5 \cdot 10^{19} \text{ см}^{-3}$  для атомов B и от  $1.0 \cdot 10^{15}$  до  $1.0 \cdot 10^{19} \text{ см}^{-3}$  для атомов P. После химического утоньшения для ВЭМ кристаллы термически окислялись при  $T = 1070^\circ\text{C}$  до образования пленки  $\text{SiO}_2$  толщиной 30 нм на обеих поверхностях тонкого кристалла. Облучение электронами и визуализация дефектов структуры производились на ВЭМ Jem-1000 при энергии электронов 1 МэВ и температуре кристаллов  $T = 20-800^\circ\text{C}$ . Интенсивность облучения  $I = 6 \cdot 10^{18}-6 \cdot 10^{19} \text{ эл.}/\text{см}^2 \cdot \text{с}^{-1}$ . Тип дефектов и их пространственное распределение определялись при анализе изображений в различных дифракционных условиях, а также

<sup>1</sup> Авторы благодарны руководству Института металлургии им. А. А. Байкова АН СССР и Института физики твердого тела и электронной микроскопии АН ГДР за предоставленную возможность работы на ВЭМ.

при использовании методики слабого пучка и стереосъемок. Толщина облучаемой области оценивалась по числу экстинкционных контуров при величине дифракционной ошибки, равной нулю.

## 2. Результаты

Облучение в ВЭМ кристаллов с содержанием В и Р  $N_{B, P} \leq 10^{15} \text{ см}^{-3}$  ведет к формированию {113}-дефектов в приповерхностных областях облучаемых кристаллов. Особенности кинетики образования и роста

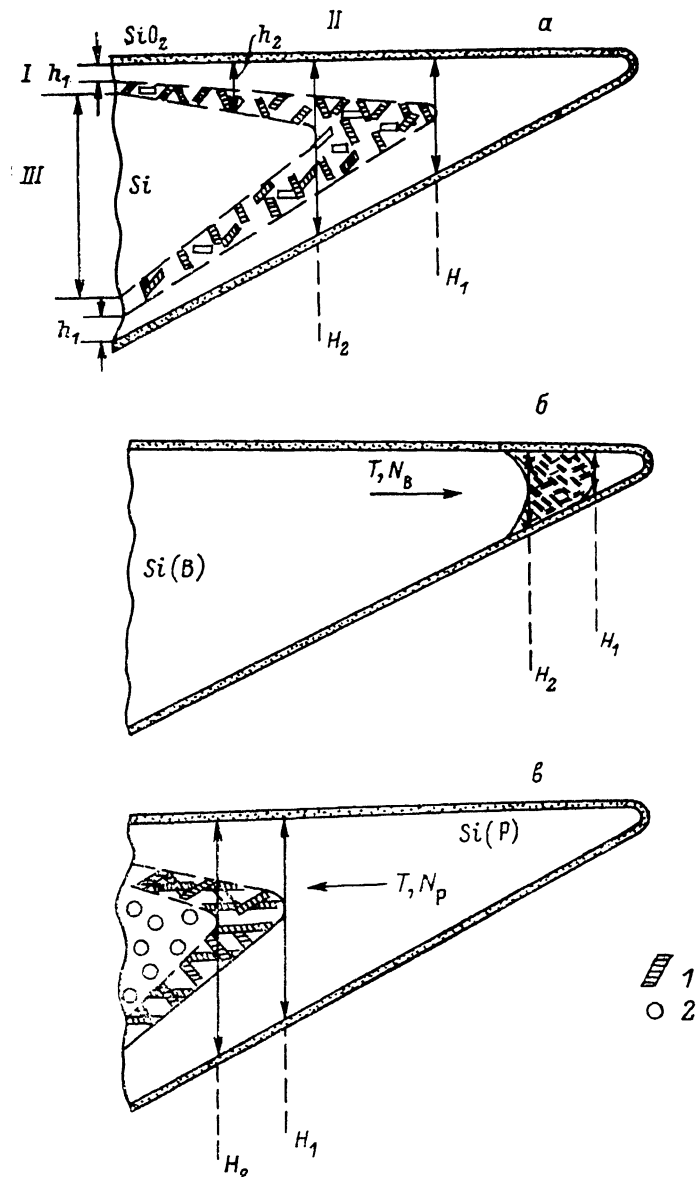


Рис. 1. Схема пространственного расположения {113}-дефектов в поперечном сечении кристаллов Si переменной толщины с различным содержанием легирующих примесей бора и фосфора.

а —  $N_{B, P} \leq 10^{15}$ , б —  $N_B \geq 10^{19}$ , в —  $N_P \geq 10^{19} \text{ см}^{-3}$ . Направление стрелок на б, в указывает смещение зоны образования {113}-дефектов в кристаллах Si(B) и Si(P) соответственно при увеличении  $T, N_B, P$ . Значения  $h_1, h_2, H_1, H_2$  поясняются в тексте. 1 — {113}-дефекты, 2 — дислокационные петли.

{113}-дефектов в слабо легированных кристаллах кремния соответствуют установленным ранее в [2-4]. Результаты сравнительного облучения

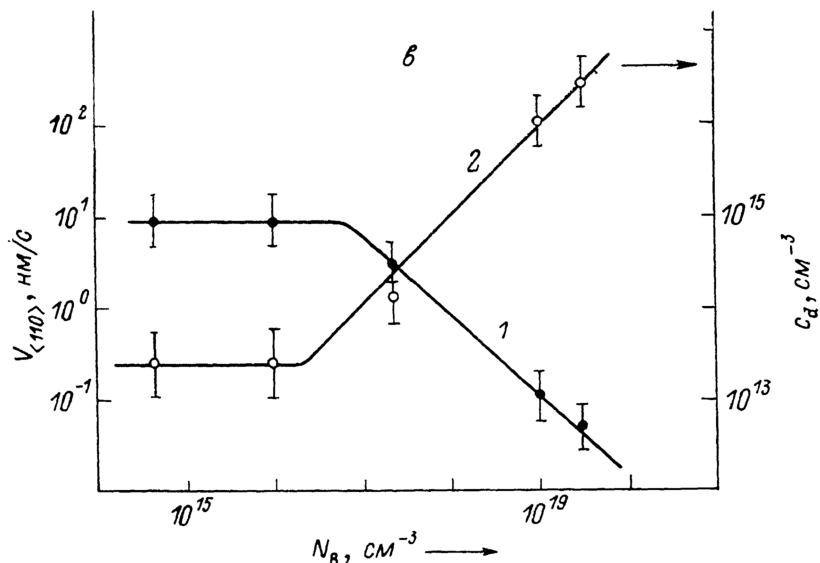
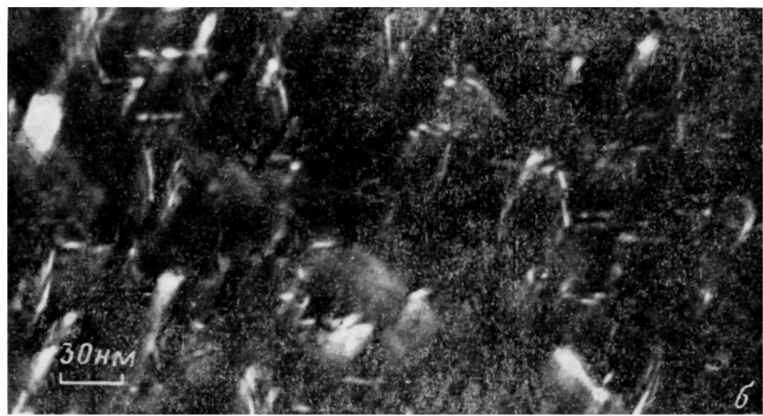
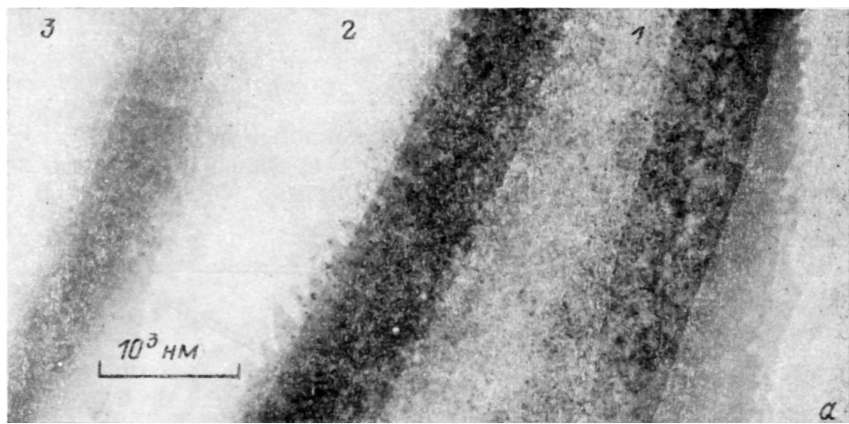
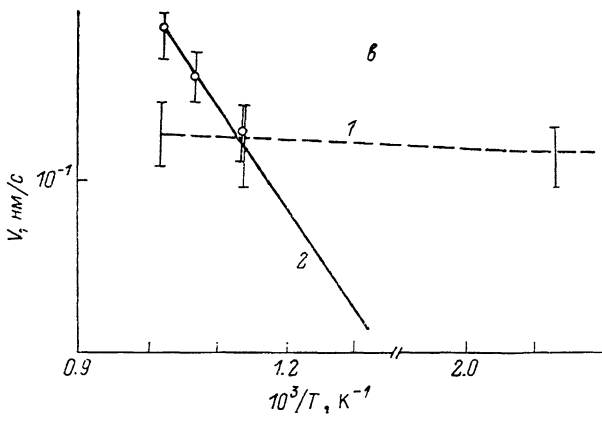
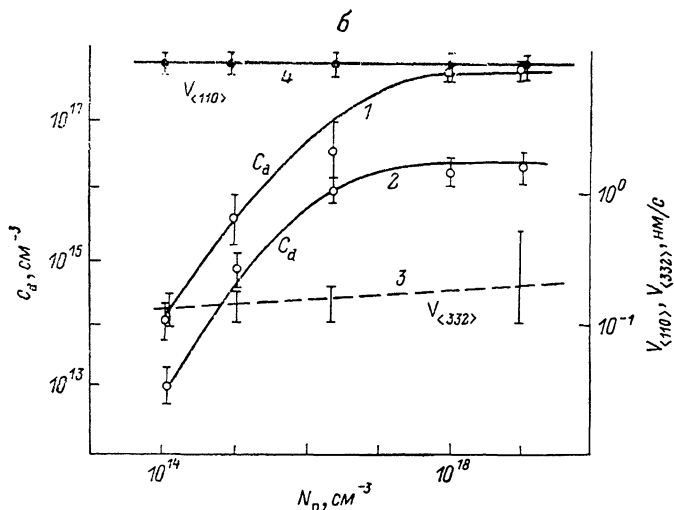
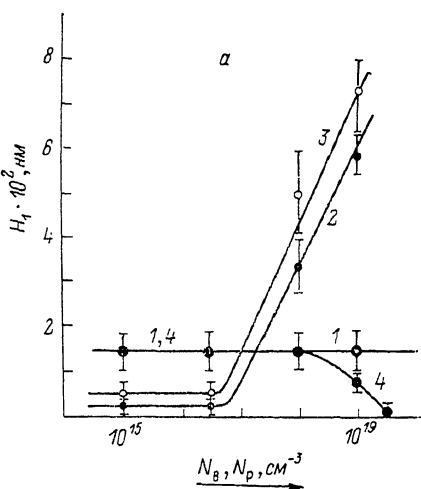


Рис. 2. Светлопольное (а) и темнопольное (б) изображения {113}-дефектов в кристаллах Si(B) с концентрацией бора  $N_B=2.5 \cdot 10^{19} \text{ см}^{-3}$ . Зависимость скорости роста {113}-дефектов в направлении  $\langle 110 \rangle$   $V_{\langle 110 \rangle}$  (1) и плотности дефектов  $c_d$  (2) от концентрации атомов бора при облучении в ВЭМ при  $T=400^\circ\text{C}$  (с).

Облучение в ВЭМ при  $T=200^\circ\text{C}$ ,  $I=6 \cdot 10^{19} \text{ эл./см}^2 \cdot \text{s}$ . Время облучения 600 с. Цифрами 1—3 на микрофотографии а указаны номера толщинных контуров.

Рис. 3.

*a* — зависимость значения  $H_1$ , толщины кристаллов Si, обусловленной стоком  $i$  на поверхность, от концентрации атомов P (1—3) и B (4).  $T$ , °C: 1, 4 — 200; 2 — 300; 3 — 500.  $I = 6 \cdot 10^{19}$  эл./см<sup>2</sup>·с; *b* — изменение плотности  $c_d$  (1, 2) и скорости роста {113}-дефектов в направлениях <332>,  $V_{<332>}^1$  и <110>,  $V_{<110>}^2$ , от концентрации атомов P в облучаемом кристалле при различных температурах.  $T$ , °C: 1 — 200; 2, 3 — 500; 4 — 400.  $I = 6 \cdot 10^{19}$  эл./см<sup>2</sup>·с; *c* — температурная зависимость скорости роста {113}-дефектов  $V_{<332>}^1$  (1) и дислокационных петель (2) в кристаллах Si(P) с концентрацией атомов P  $N_p = 1 \cdot 10^{19}$  см<sup>-3</sup>.  $I = 6 \cdot 10^{19}$  эл./см<sup>2</sup>·с.



в ВЭМ кристаллов Si, различающихся содержанием кислорода, углерода при  $N_{\text{B}, \text{P}} \leq 10^{15}$  см<sup>-3</sup>, указывают на участие этих атомов в процессе зарождения {113}-дефектов [7]. Как показано в [2—4], формирование неоднородного распределения {113}-дефектов по толщине облучаемого кристалла, представленного на рис. 1, *a*, обусловлено большим значением коэффициента взаимодействия вакансий ( $v$ ) с границей Si—SiO<sub>2</sub>  $k_{\text{v}}$ , по сравнению со значением коэффициента взаимодействия между

узельных атомов (*i*) с границей Si—SiO<sub>2</sub>  $k_{rs} > k_{is}$ . Это соответствует большей толщине приповерхностной зоны для стока *v* на поверхность  $h_2$  по сравнению с толщиной приповерхностной зоны для стока *i* на поверхность  $h_1$ . При толщине облучаемого кристалла  $H < H_1 \simeq 2h_1$  {113}-дефекты не образуются, а при  $H > H_2 \simeq 2h_2$  в его объеме появляется зона *III*, также свободная от дефектов. Появление зоны *III* связано с преимущественной аннигиляцией *i* и *v* в условиях малой вероятности выхода *i* и *v* на поверхность [<sup>2</sup>, <sup>4</sup>].

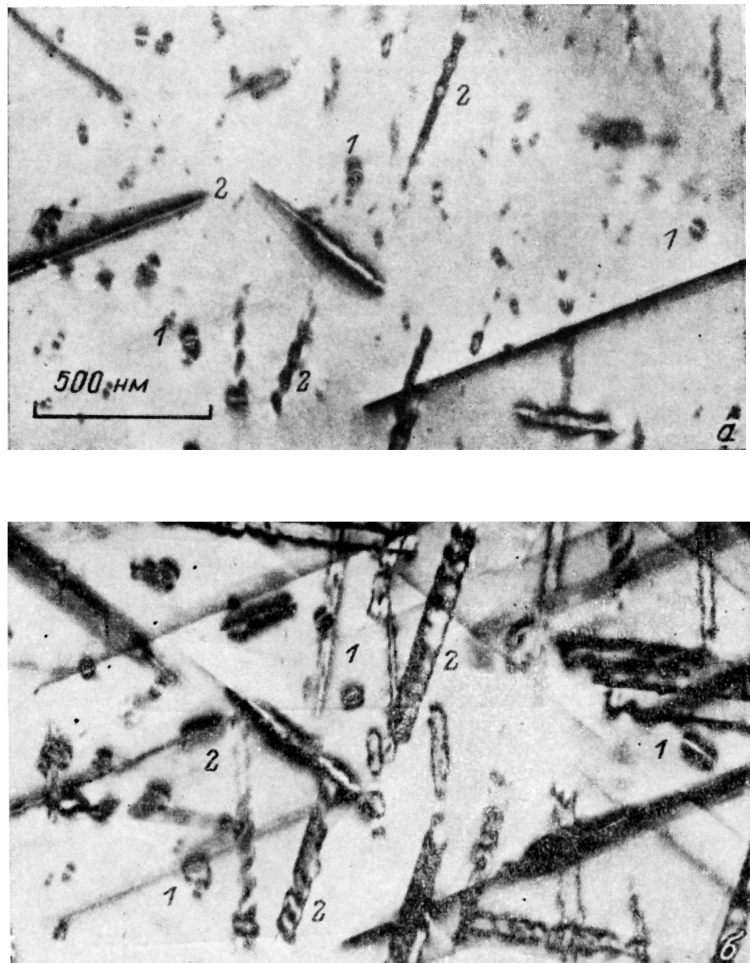


Рис. 4. Возникновение дислокационных петель (1) и {113}-дефектов (2) при облучении в ВЭМ кристаллов Si(P) с  $N_p = 1 \cdot 10^{19}$  см<sup>-3</sup> при  $T = 600$  °С.

Время облучения 60 (а) и 240 с (б).  $I = 6 \cdot 10^{19}$  эл./см<sup>2</sup>·с.

Увеличение концентрации атомов В  $N_B$  в исходных кристаллах Si приводит при последующем облучении в ВЭМ к изменению расположения пространственной области образования {113}-дефектов относительно поверхности кристалла и ее смещению в участки кристалла малой толщины (рис. 1, б) по сравнению со слабо легированными кристаллами (ср. а и б рис. 1). При этом значения  $H_1$  и  $H_2$  уменьшаются. Так, для  $N_B \leq 10^{19}$  см<sup>-3</sup> величина  $H_2$  при  $T = 600$  °С составляет  $\sim 2 \cdot 10^2$  нм. При увеличении  $N_B$  до  $2.5 \cdot 10^{19}$  см<sup>-3</sup> значение  $H_2$  уменьшается до  $\sim 120$  нм при  $T = 600$  °С и составляет  $\sim 240$  нм при  $T = 200$  °С (рис. 2, а). Методом слабого пучка показано, что наблюдаемые на рис. 2, а скопления точечных дефектов в кристаллах Si с  $N_B = 2.5 \cdot 10^{19}$  см<sup>-3</sup> являются мелкими

{113}-дефектами (рис. 2, б). В интервале температур облучения  $T=20-500^{\circ}\text{C}$  с ростом  $N_{\text{B}}$  увеличивается плотность {113}-дефектов  $c_d$ , как показано на рис. 2, в (кривая 2). Вместе с ростом  $c_d$  при увеличении  $N_{\text{B}}$  в указанном интервале температур уменьшается значение скорости роста дефектов в направлении  $\langle 110 \rangle - V_{\langle 110 \rangle}$  (рис. 2, в, кривая 1). Значение скорости роста {113}-дефектов в направлении  $\langle 332 \rangle - V_{\langle 332 \rangle}$  уменьшается по сравнению с  $V_{\langle 332 \rangle}$  в нелегированных кристаллах в  $10^2$  раз и не превышает  $\sim 10^{-2}$  нм/с при  $N_{\text{B}}=2.5 \cdot 10^{19} \text{ см}^{-3}$  (рис. 2, б). Уменьшение  $H_1$  при увеличении  $N_{\text{B}}$  показано на рис. 3, а (кривая 4).

При  $T=600^{\circ}\text{C}$  плотность {113}-дефектов в кристаллах Si, легированных B, уменьшается, а  $V_{\langle 110 \rangle}$  растет, так что эти значения приблизительно равны  $c_d$  и  $V_{\langle 110 \rangle}$  в нелегированных кристаллах.

Увеличение концентрации атомов P от  $10^{15}$  до  $10^{19} \text{ см}^{-3}$  приводит к нелинейному возрастанию плотности {113}-дефектов  $c_d$ , как показано на рис. 3, б (кривые 1, 2) для  $T=200$  и  $500^{\circ}\text{C}$ . Значение скорости роста {113}-дефектов в направлении  $\langle 332 \rangle - V_{\langle 332 \rangle}$  в кристаллах Si (P) повышено на начальном этапе облучения. В то же время значения  $V_{\langle 110 \rangle}$ , а также  $V_{\langle 332 \rangle}$  на квазистационарной стадии облучения практически не изменяются при увеличении  $N_{\text{P}}$  (рис. 3, б, кривые 3, 4). Зависимость  $V_{\langle 332 \rangle}(T)$  (рис. 3, в) для квазистационарной стадии роста характеризуется энергией активации  $\sim 0.1$  эВ и соответствует ранее определенной для слабо легированных кристаллов. При  $T=20-200^{\circ}\text{C}$  пространственное распределение {113}-дефектов соответствует найденному для слабо легированных кристаллов (рис. 1, а). Образование {113}-дефектов в указанном интервале температур наблюдается при значениях толщины облучаемых кристаллов  $H \geq H_1$  независимо от  $N_{\text{P}}$  (рис. 3, а, кривая 1). Увеличение  $T$  до  $300-700^{\circ}\text{C}$  приводит к возрастанию  $H_1$  при повышении  $N_{\text{P}}$  (рис. 3, а, кривые 3, 4) и смещению зоны формирования {113}-дефектов в участке кристалла с большей толщиной (рис. 1, в). При  $T \geq 600^{\circ}\text{C}$  в кристаллах с  $N_{\text{P}}=10^{19} \text{ см}^{-3}$  вместе с возникновением {113}-дефектов (при соответствующих рис. 3, а значениях  $H > H_1$ ) наблюдается формирование дислокационных петель внедренного типа при  $H \geq H_2 \approx 0.8 \cdot 10^3$  нм (рис. 4, а, б). Схема распределения {113}-дефектов и дислокационных петель в поперечном сечении кристалла переменной толщины показана на рис. 1, в. В отличие от процесса возникновения {113}-дефектов, который характеризуется наличием инкубационного времени [3], дислокационные петли возникают непосредственно после начала облучения. Плотность петель уменьшается во время облучения (рис. 4, а, б) и увеличивается при уменьшении  $I$ . Температурная зависимость скорости роста петель (рис. 3, в, прямая 2) характеризуется энергией активации, соответствующей значению  $\sim 1.3$  эВ для энергии активации скорости переползания краевых дислокаций при облучении в ВЭМ [8]. При  $T > 700^{\circ}\text{C}$  в кристаллах с  $N_{\text{P}}=10^{19} \text{ см}^{-3}$  {113}-дефекты и дислокационные петли не возникают.

### 3. Обсуждение результатов

Как следует из экспериментальных данных, в кристаллах с большой концентрацией легирующих примесей B и P ( $N_{\text{B}, \text{P}} \geq 10^{19} \text{ см}^{-3}$ ) процесс образования {113}-дефектов при облучении в ВЭМ изменяется, если толщина облучаемого участка кристалла  $H > H_2$ . При этом в кристаллах Si(B) при  $H > H_2$  отсутствует образование {113}-дефектов, а в кристаллах Si(P) образуются дислокационные петли. Это указывает на принципиальное отличие процессов взаимодействия ТД с атомами B и P в условиях отсутствия стока  $i$  и  $v$  на поверхность кристалла. При  $H_1 < H < H_2$  процесс формирования скоплений  $i$  в виде {113}-дефектов определяется взаимодействием ТД как с атомами примесей, так и с поверхностью.

а) Кремний, легированный бором. Смещение области формирования {113}-дефектов в более тонкие участки кристалла при увеличении  $N_{\text{B}}$  показывает, что в отличие от облучения слабо легированных кристаллов [2-4] в кристаллах Si(B) возрастает скорость ани-

тиляции ТД и уменьшается вероятность выхода ТД на поверхность. При этом в кристалле Si(B) протекают последовательные реакции взаимодействия  $i$  и  $v$  с атомами В



Предпочтительное взаимодействие  $i$  с В связано, во-первых, с большей подвижностью  $i$  и, во-вторых, с ожидаемым различием зарядов ионизированного атома В и  $i$ , которые, по данным [9], имеют положительный заряд. Поскольку толщина  $H_1$  связана с толщиной приповерхностных зон  $h_1$ , которые определяются стоком  $i$  на поверхность (рис. 1, a), наблюдаемое уменьшение  $H_1$  в кристаллах Si(B) (рис. 3, a) соответствует преимущественному взаимодействию  $i$  с атомами В по реакции (1), в результате чего уменьшается вероятность выхода  $i$  на поверхность облучаемого кристалла.

Отсутствие образования {113}-дефектов в кристаллах Si(B) при  $H > H_2$  показывает, что атомы В служат центрами аннигиляции в том случае, когда вероятность выхода  $v$  на поверхность меньше вероятности взаимодействия  $v$  с комплексом  $Bi$ :

$$k_{vs} c_s c_v D_v \leq k_{Bi}^v c_{Bi} c_v D_v. \quad (3)$$

Здесь  $c_s \approx a^2/h_2^2$  — вероятность выхода  $v$  на поверхность кристалла толщиной  $2h_2$  [2, 4];  $a$  — межатомное расстояние;  $k_{vs}$ ,  $k_{Bi}^v$  — коэффициенты взаимодействия  $v$  с поверхностью и комплексами соответственно;  $c_s$ ,  $c_{Bi}$  — концентрации  $v$  и  $Bi$  соответственно;  $D_v = v_0 \exp(-E_m^v/kT)$  — коэффициент миграции  $v$ . Из (3) следует, что

$$h_2 \approx a (k_{vs}/k_{Bi}^v c_{Bi})^{1/2}. \quad (4)$$

Так как  $c_{Bi} \approx 1/N_B$  при достаточно большом времени облучения [10], зависимость  $h_2 \sim N_B^{-1/2}$  соответствует экспериментальным данным  $H_2(N_B)$ .

Наличие пропорциональности в зависимости  $c_d(N_B)$  (рис. 2) свидетельствует о том, что в области  $H < H_2$  сток части  $v$  на поверхность создает условия для образования мелких скоплений  $i$ , зародышами для которых служат комплексы  $Bi$ . Так как максимальное значение плотности {113}-дефектов  $c_d \approx 10^{-2} N_B$ , коэффициент взаимодействия  $i$  с комплексами  $Bi$  ( $k_{Bi}^i$ ) меньше коэффициента взаимодействия  $i$  с образовавшимися {113}-дефектами  $k_{ir}$ :  $k_{Bi}^i \approx 10^{-2} k_{ir}$ . Если принять, что  $k_{ir} = 1$  [8], то необходимо заключить, что существует энергетический барьер для взаимодействия  $i$  с комплексом  $Bi$ :

$$k_{Bi}^i = (k_{Bi}^i)_0 \exp\left(\frac{S_{Bi}^i}{k}\right) \exp\left(-\frac{E_{Bi}^i}{kT}\right). \quad (5)$$

При  $(k_{Bi}^i)_0 \approx 1$  и  $S_{Bi}^i \approx k$  величина  $E_{Bi}^i = 0.1 \div 0.2$  эВ.

б) Кремний, легированный фосфором. Увеличение плотности {113}-дефектов при сохранении скоростей их роста и появление дислокационных петель при облучении кристаллов Si(P) указывают на увеличение концентрации  $i$  и, следовательно, на уменьшение скорости аннигиляции ТД по сравнению со слабо легированными кристаллами. При  $T = 200$  °С значение  $c_d$  увеличивается в  $10^3 \div 10^4$  раз, что согласуется с таким же увеличением значения  $c_i$  в начальный момент облучения. На наш взгляд, указанное увеличение  $c_i$  отвечает преимущественному взаимодействию  $v$  с атомами Р. При пониженных  $T$  такое взаимодействие приводит к формированию известных  $E$ -центров [1, 10]. Аннигиляция ТД при подходе  $i$  к комплексу  $Pv$  затруднена из-за барьера  $E_{Pv}^i$ , наличие которого может быть связано с расщепленной конфигурацией  $E$ -центра при  $T \leq 200$  °С (см., например, [10]). Величину  $E_{Pv}^i$  можно оценить, исходя из соотношения для  $c_i D_i$ , определяемого реакцией аннигиляции в условиях действия постоянных стоков для ТД [8, 11, 12]:  $c_i D_i = (G D_i / k_{ir})^{1/2}$ . Здесь  $G = 10^{-3}$  с<sup>-1</sup> — скорость генерации ТД в условиях облучения

в ВЭМ;  $k_{i,v} = 4\pi (r_{i,v}/a) \simeq 50$  — сечение аннигиляции ТД [12]. Если принять, что при аннигиляции на атомах Р  $k'_{i,v} = 4\pi (r_{i,v}/a) \cdot \exp(-E_{P,v}/kT)$ , то указанное выше увеличение значения  $c_i D_i$  при  $T=200$  °С отвечает величине  $E_{P,v}^i = 0.6 \div 0.7$  эВ.

Для квазистационарной стадии роста {113}-дефектов при  $T=200$  °С значение  $c_i D_i$  в кристаллах Si(Р) не отличается существенно от такового в слабо легированных кристаллах, что вытекает из равенства скоростей роста  $V_{\langle 332 \rangle} = k_{i,v} c_i D_i$  (рис. 3, б). Таким образом, в этом случае на квазистационарной стадии преобладает реакция взаимной аннигиляции, так же как и в слабо легированных кристаллах. Подтверждением этого служит независимость  $H_1 (N_p)$  при  $T=200$  °С (рис. 3, а). Величина зоны стока  $h_1$  связана с временем жизни  $i (\tau_i)$ , следовательно,  $H_1 \simeq 2h_1 \simeq 2\sqrt{D_i \tau_i}$ .

При  $T \geq 300$  °С облучение в ВЭМ кристаллов Si(Р) сопровождается возрастанием  $H_1$  и, значит, увеличением  $\tau_i$ . Указанное увеличение  $\tau_i$  обусловлено, как показано выше, снижением вероятности взаимной аннигиляции  $v$  и  $i$  из-за преимущественного взаимодействия  $v$  с атомами Р. При повышении  $c_i$  увеличивается вероятность взаимодействия  $i$  с комплексами  $Pv$ , что в соответствии с результатами [13, 14] должно приводить к увеличению подвижности атомов Р. Это в свою очередь затрудняет возникновение стабильных зародышей для {113}-дефектов, поскольку подвижные атомы Р блокируют центры зарождения {113}-дефектов в виде комплексов междуузельных атомов и атомов электрически нейтральных примесей [7]. Таким образом, в данном интервале  $T$  величина  $H_1$  увеличивается из-за повышения вероятности для взаимодействия  $i$  с комплексами  $Pv$ .

При дальнейшем увеличении  $T$   $H_1$  существенно не изменяется (рис. 3, а), что указывает на сохранение повышенного значения  $\tau_i$  в кристаллах Si(Р) по сравнению с  $\tau_i$  в слабо легированных кристаллах. Формирование при  $T \geq 600$  °С дислокационных петель в объеме облучаемых кристаллов (при  $H > H_2 \simeq 0.8 \cdot 10^3$  нм) с  $N_p = 10^{19}$  см<sup>-3</sup> без инкубационного времени показывает, что образование зародышей дислокационных петель происходит в условиях отсутствия стока  $v$  на поверхность при последовательном взаимодействии  $i$  с комплексом  $Pv$ . В соответствии с рассмотрением, проведенным в [8, 15], для формирования дислокационных петель необходим переход  $i$  из метастабильных междуузельных конфигураций в узельные позиции кристаллической решетки в экстраплоскости петель. В данном случае возникновение петель в легированных кристаллах Si(Р) свидетельствует о том, что переход  $i$  в узельные положения кристаллической решетки, необходимый для формирования петли, облегчен в присутствии комплекса  $Pv$ . Образование дислокационных петель внедренного типа по механизму, включающему в себя взаимодействие  $i$  со скоплениями  $v$ , происходит также в имплантированных ионами кристаллах кремния [16].

Условием для перехода захваченного комплексом  $i$  в узельное положение в плоскости петли является повышение  $T$  до 600 °С, что соответствует данным [8] для температурной зависимости скорости данного перехода. Так как зародыш минимального размера для дислокационной петли внедренного типа должен содержать два  $i$  в области комплекса  $Pv$ , величину коэффициента для присоединения второго  $i$  к комплексу  $Pv^i$  ( $k_{P,v}^i$ ) можно оценить из того факта, что максимальная плотность петель  $c_n \simeq 10^{-3} N_p$ . Отсюда следует, что  $k_{P,v}^i/k_{id} \simeq 10^{-3}$ , где коэффициент взаимодействия  $i$  с дислокационной петлей для  $T=600$  °С  $k_{id} \simeq 10^{-2}$  [8]. Если  $k_{P,v}^i$  определяется выражением, аналогичным (5), то при  $(k_{P,v}^i)_0 \simeq 1$ ,  $S_{P,v}^i \simeq k$  значение  $E_{P,v}^i \simeq 0.9$  эВ.

Таким образом, из рассмотрения кинетики формирования скоплений  $i$  следует, что энергетические барьеры для взаимодействия первого и второго  $i$  с комплексом  $Pv$  составляют 0.6–0.7 и 0.9 эВ соответственно. Так как температурная зависимость скорости роста петель (рис. 3, в) определяется энергией активации  $\sim 1.3$  эВ, на последующих этапах формирования

петель происходит дальнейшее увеличение энергетического барьера для присоединения последующих  $i$  до указанного значения. Тот факт, что образование дислокационных петель в кристаллах Si(P) включает в себя реакции взаимодействия между простейшими ТД ( $i$ ) и комплексами Pv, подтверждается отсутствием фиксируемого в эксперименте инкубационного времени для возникновения петель. Обратная зависимость плотности петель от  $I$  и времени облучения, существование которой следует из сравнения  $a$  и  $b$  рис. 4, показывает, что образование петель не связано с накоплением более сложных комплексов ТД и атомов примесей. Это указывает также на то, что значительное увеличение скорости генерации ТД с ростом  $I$  приводит к уменьшению относительного вклада реакции взаимодействия  $i$  с атомами P и преобладанию процесса взаимной аннигиляции, в результате чего величины  $c_i$  и, следовательно, плотности петель уменьшаются. Из температурной зависимости скорости роста скоплений  $i$  в виде {113}-дефектов в Si при облучении в ВЭМ (рис. 3,  $\alpha$ , прямая 1) следует, что точечные дефекты, генерируемые облучением в ВЭМ, подвижны в рассматриваемом интервале  $T=20-700$  °C в соответствии с данными работ [4, 8, 15]. Таким образом, формирование петель и их рост со скоростью, контролируемой энергией активации  $\sim 1.3$  эВ (рис. 3,  $\alpha$ , прямая 2), не связаны с изменением подвижности  $i$ , а обусловлены существованием энергетического барьера для перехода  $i$  из метастабильных конфигураций в узельные позиции в плоскости петель.

Результаты настоящей работы соответствуют данным, полученным при облучении в ВЭМ кристаллов Si(B, P) [5]. Обнаруженное в [5] изменение типа скоплений  $i$  в виде стержнеобразных дефектов на дислокационные петли при имплантации B в образцы Si(P) и предполагаемое изменение типа зародыша для скоплений  $i$  объясняются в рамках предложенных механизмов взаимодействия ТД с атомами B и P.

#### Список литературы

- [1] Болотов В. В., Васильев А. В., Герасименко Н. Н., Двуреченский А. В., Качурин Г. А., Панов В. И., Смирнов Л. С., Стась В. Ф. Физические процессы в облученных полупроводниках. Новосибирск, 1977. 256 с.
- [2] Асеев А. Л., Астахов В. М. // ФТТ. 1982. Т. 24. № 7. С. 2037—2042.
- [3] Асеев А. Л., Астахов В. М., Федина Л. И. // Изв. АН СССР, сер. физ. 1983. Т. 47. № 6. С. 1156—1161.
- [4] Асеев А. Л., Астахов В. М., Денисенко С. Г., Ивахнишин В. М., Федина Л. И., Хеэль Д. // Препринт ИФП СО АН СССР. Новосибирск, 1987. № 19. 38 с.
- [5] Kalinin V. V., Gerasimenko N. N. // Phys. St. Sol. (a). 1983. V. 7. N 1. P. 65—70.
- [6] Aseev A. L., Astakhov V. M., Pchelyakov O. P., Heydenreich J., Kastner G., Hoehl D. // Cryst. Res. Techn. 1979. V. 14. N 11. P. 1405—1411.
- [7] Асеев А. Л., Болотов В. В., Смирнов Л. С., Стенин С. И. // ФТП. 1979. Т. 18. № 7. С. 1302—1307.
- [8] Fedina L. I., Aseev A. L. // Phys. St. Sol. (a). 1986. V. 95. N 2. P. 517—529.
- [9] Зеегер А., Фелль Х., Франк В. Точечные дефекты в твердых телах. М., 1979. С. 163—186.
- [10] Емцев В. В., Машовец Т. В. Примеси и точечные дефекты в полупроводниках. М., 1981. 552 с.
- [11] Urban K. // Phys. St. Sol. (a). 1979. V. 56. N 1. P. 157—165.
- [12] Люка Ш., Гайяр Х., Луалиш С., Барюш Д., Пфистер Ж., Трюш Р. Ионная имплантация в полупроводники и другие материалы. М., 1980. С. 174—183.
- [13] Вавилов В. С., Кив А. Е., Ниязова О. Р. Механизмы образования и миграции дефектов в полупроводниках. М., 1981. 368 с.
- [14] Lee Y. H., Kim Y. M., Corbett J. W. // Rad. Eff. 1972. V. 15. N 1—2. P. 77—84.
- [15] Асеев А. Л. // Изв. АН СССР, сер. физ. 1987. Т. 51. № 9. С. 1502—1508.
- [16] Асеев А. Л., Федина Л. И. // ФТП. 1989. Т. 23. № 1. С. 171—174.